

## تحلیل غیرمخرب تنش پسماند در شمش‌ها به روش اولتراسونیک\*

علی سینایی<sup>(۱)</sup> مهدی اسماعیلی<sup>(۲)</sup>

چکیده روش‌های شکلهی فلزات از قبیل نورد، آهنگری، کشش عمیق و غیره و نیز عملیات حرارتی باعث ایجاد تنش پسماند و تغییر در بافت قطعات می‌شوند که در این صورت ماده از حالت ایزوتروپی خارج می‌گردد. از طرف دیگر، در مبحث اکوستوالاستیسیته بدون تحلیل بافت نمی‌توان تنش‌های پسماند موجود در جسم را بدرستی تعیین کرد. در پژوهش حاضر معادلات حرکت ذره در یک محیط الاستیک غیر ایزوتروپیک جزئی تحت تنش پسماند و با در نظر گرفتن اثر بافت در دو حالت متفاوت نورد بررسی شده است. با استفاده از تئوری انتشار امواج الاستیک در ماده، روابط میان سرعت انتشار موج با کرنش پسماند و پارامترهای بافت در صفحات مشخص بدست آمده‌اند. سپس این رابطه‌ها برای حالت تنش تک‌محوری بر روی شمش‌های نورد شده ساده شده‌اند. همچنین آثار تنش پسماند و آثار بافت بر روی سرعت انتشار موج از یکدیگر تفکیک شده‌اند. نتایج تحلیلی بدست آمده برای حالت بارگذاری تنش به صورت یک بعدی در شمش‌ها با نتایج تجربی مقایسه شده‌اند که مطابقت خوبی را نشان می‌دهند.

واژه‌های کلیدی اولتراسونیک، غیرمخرب، تنش پسماند، کرنش پسماند، بافت، شمش، نورد، ایزوتروپیک.

## Residual Stress Analysis in the Billets Using Nondestructive

## Ultrasonic Method

A. Sinaie

M. Esmaily

**Abstract** Heat treatment and production methods such as rolling, forging, deep drawing, etc, induce residual stresses as well as texture changes in the billets. These processes cause the billets to become anisotropic. In "Acoustoelasticity", residual stresses can not be determined unless the texture is already known a priori or determined simultaneously. In the present article, the equations of particle motion in an anisotropic elastic medium in the presence of residual stresses and texture is considered for two cases of rolling processes. Using elastic wave propagation in the medium, the relationships between the wave velocity and the residual strains as well as texture parameters in special planes are obtained for the general case and then simplified for rolled billets. The residual stress effects on the wave velocities are also discriminated from the effects of texture. The analytical results are discussed and compared with the experimental results for the case of one-dimensional stresses in billets, showing good agreement.

**Key Words** Ultrasonic, Nondestructive, Residual stress, Residual strain, Texture, Billet, Rolling, Anisotropic.

\* نسخه اولیه مقاله در تاریخ ۸۰/۱۰/۹ و نسخه نهایی آن در تاریخ ۸۰/۱۱/۱۴ به دفتر نشریه رسیده است.

۱ - استاد بخش مهندسی مکانیک، دانشکده فنی، دانشگاه شهید باهنر کرمان.  
۲ - کارشناس ارشد بخش مهندسی مکانیک، دانشکده فنی، دانشگاه شهید باهنر کرمان.

نتیجه، این شبکه‌ها بسته به نوع فولاد و جزئیات عملیات حرارتی مورد استفاده، به شدت تغییر می‌کنند و لایه‌های سطحی می‌توانند تحت کشش یا فشار قرار گیرند.

هرچند تنش‌های سطحی حتی در اشکال ساده‌ای مانند یک میله استوانه‌ای نیز به وجود می‌آیند، آنها را می‌توان به علت وجود نایکنواختی در مقطع قطعه فولادی آبداده بشدت افزایش داد. گوشه‌های تیز، زاویه‌های تند و تغییرات ناگهانی در سطح مقطع از علل پیدایش ترک یا شکست قطعات فولادی هنگام عملیات حرارتی می‌باشند. تنش‌های پسماند در قطعات فولادی آبداده به وسیله عملیات بازپخت در دمای بالا مثلاً  $600^{\circ}\text{C}$ ، به طور قابل ملاحظه‌ای از بین می‌روند. اگرچه تنش‌های پسماند موجود در هر آلیاژ را می‌توان به وسیله عملیات حرارتی تنش‌زدایی که طی آن، آلیاژ تا دمای تغییر شکل پلاستیک موضعی گرم می‌شود، تا حد زیادی کاهش داد، اما در شرایط واقعی همواره مقداری تنش پسماند در ماده باقی می‌ماند.

### تحلیل تنش

با استفاده از بیان لاگرانژی، شکل کلی معادلات حرکت برای یک ذره مادی، بدون در نظر گرفتن نیروهای حجمی را می‌توان بصورت زیر بیان کرد.

$$\frac{\partial \sigma_{ij}}{\partial x_j} = \rho_0 \frac{\partial^2 u_i}{\partial t^2}; \quad i = 1, 2, 3 \quad (1)$$

قرارداد جمع روی اندیس تکراری برقرار می‌باشد و  $\sigma_{ij}$  تانسور تنش،  $\rho_0$  چگالی در حالت تغییر شکل نیافته و  $u_i$  جابجایی ذره است.

$$u_i = x_i - X_i \quad (2)$$

$X_i$  مختصات جسم در حالت تغییر شکل نیافته و  $x_i = x_i(X_1, X_2, X_3)$  مختصات جسم در حالت تغییر شکل یافته می‌باشد. تنش و کرنش محدود در جسم از

عوامل به طور جداگانه باید بررسی شوند.

در یک میله فلزی داغ که با فرو بردن در آب به سرعت سرد می‌شود، سطح قطعه زودتر از مرکز آن سرد و منقبض می‌شود. این انقباض باعث ایجاد تغییر شکل پلاستیک در ناحیه داخلی که داغتر و نرمتر است می‌گردد تا اتصال بین نواحی مجاور میله حفظ شود. پس از سرد شدن سطح میله قسمت‌های داخلی با کاهش تدریجی دما به انقباض ادامه می‌دهند. این انقباض داخلی، وقتی که لایه‌های سطحی و قسمت‌های داخلی جسم هر دو بتوانند تحت تنش‌های زیاد قرار گیرند، در سطح میله تنش‌های فشاری تولید می‌کند. مقدار تنش طولی در سطح قطعه که به وسیله سرمادهی به وجود می‌آید حدود  $20 \times 10^7 \text{ N/m}^2$  برای آهن و حدود نصف این مقدار برای فلزات غیر آهنی مثل آلومینیوم می‌باشد. سرد کردن ملایمتر قطعه، همانطور که انتظار می‌رود، با تنش‌های پسماند کمتری همراه است. این اثر بخصوص در آلومینیوم، که از سرد کردن آن در روغن تقریباً هیچ تنش پسماندی بوجود نمی‌آید، بسیار مهم است.

به عنوان نمونه‌ای از عامل تغییر فاز، می‌توان تشکیل مارتنزیت از آستنیت را در موقع سرد کردن سریع فولاد (آبدهی مارتنزیتی) نام برد. با استدلالی مشابه با بالا، برای سرد شدن می‌توان نشان داد که انبساط ناشی از تشکیل مارتنزیت منجر به تولید تنش‌های پسماند کششی در لایه‌های سطحی و تنش‌های فشاری در قسمت‌های داخلی می‌شود. این شبکه را می‌توان به صورت تجربی، در حالتی که آثار ناشی از انقباض گرمایی به حداقل برسد، به وجود آورد. در این حالت حداکثر مقدار تنش کششی در سطح در حدود  $55 \times 10^7 \text{ N/m}^2$  است. در فرآیند سخت گردانی فولاد، شبکه نهایی تنش‌های پسماند به وسیله ترکیبی از انقباض گرمایی و انبساط مارتنزیتی تعیین می‌شود. در

ایجاد می شود. جابجایی دینامیکی در مقایسه با جابجایی استاتیکی، بسیار کوچک است.

$$u_n = u_n^e + u_n^d, u_n^e \gg u_n^d, n = 1, 2, 3 \quad (6)$$

با استفاده از بسط تیلور می توان معادله حرکت را حول موقعیت تغییر شکل استاتیکی آن خطی نمود. برای این منظور، لازم است برخی فرضیات مقدماتی درباره بخش تغییر شکل دینامیکی در نظر گرفته شود. با فرض انتشار موج کم دامنه با جبهه تخت در یک محیط ایزوتروپ، مولفه های جابجایی در مختصات کارتزین را می توان به صورت زیر نوشت.

$$u_n = \varepsilon_n X_n + m_n A e^{i(\omega t - k_j x_j)}, n = 1, 2, 3 \quad (7)$$

در رابطه فوق  $\varepsilon_n$  کرنش های اصلی و  $A$  دامنه موج است. قرارداد جمع بندی روی اندیس مکرر  $j$  صادق بوده ولی روی اندیس  $n$  صادق نمی باشد.  $x_j$  را می توان بر حسب مختصات اولیه  $X_n$  بصورت زیر نوشت:

$$x_j = (1 + \varepsilon_j) X_j, j = 1, 2, 3 \quad (8)$$

که در آن، قاعده جمع بندی بر روی اندیس مکرر  $j$  برقرار نیست. مولفه های بردار موج  $k_j$  را نیز می توان بر حسب عدد موج  $K$  و کسینوسهای هادی بردار موج  $j$  نوشت:

$$k_j = \frac{\gamma \pi}{\lambda} l_j = k l_j, j = 1, 2, 3 \quad (9)$$

با قراردادن معادلات (۸) و (۹) در معادله (۷)، سه مولفه جابجایی ( $u_n$ ) را می توان بر حسب کرنش های اصلی ( $\varepsilon_n$ ) و کسینوس های هادی بردار پلاریزاسیون ( $m_n$ ) نوشت که نسبت به دستگاه مختصات اولیه می باشند.

$$u_n = \varepsilon_n X_n + m_n e^{i\omega t} \cdot F, n = 1, 2, 3 \quad (10)$$

$$F = A e^{-ik[(1+\varepsilon_1)X_1 l_1 + (1+\varepsilon_2)X_2 l_2 + (1+\varepsilon_3)X_3 l_3]}$$

معادله (۱۰) فرم نهایی جابجایی های دینامیکی بسیار

دیدگاه لاگرانژی، توسط مورناگان [5] به صورت زیر تعریف می شوند:

$$\sigma_{ij} = (\delta_{ik} + u_{i,k}) \frac{\partial \varphi}{\partial E_{kj}} \quad (3)$$

$$E_{kj} = \frac{1}{\rho} [(\delta_{ki} + u_{i,k})(\delta_{ji} + u_{i,j})] - \delta_{kj} \quad (4)$$

$$i = 1, 2, 3; k = 1, 2, 3; j = 1, 2, 3$$

که در روابط فوق،  $\delta_{ij}$  دلتای کرونکر است. همچنین نشانه  $\epsilon$  بین اندیس ها علامت مشتق جزئی می باشد. مورناگان نشان داد که چگالی انرژی کرنشی الاستیک  $\varphi$ ، برای یک جامد ایزوتروپیک تابعی از سه نامتغیر کرنش  $I_1, I_2, I_3$  از تانسور کرنش های لاگرانژی  $E_{ij}$  می باشد و در غیاب کرنش های اولیه بصورت زیر نوشته می شود.

$$\varphi = \frac{\lambda + 2\mu}{2} I_1^2 - 2\mu I_2 + \frac{1 + 2\mu}{3} I_1^3 - 2m I_1 I_2 + n I_3 \quad (5)$$

$$I_1 = E_{jj}$$

$$I_2 = \frac{1}{2} (E_{kk} E_{jj} - E_{kj} E_{kj})$$

$$I_3 = \det(E_{kj})$$

$$J = 1, 2, 3; k = 1, 2, 3$$

با بسط دادن  $\varphi$  بر حسب  $E_{kj}$  و محاسبه ۹ مشتق جزئی  $\frac{\partial \varphi}{\partial E_{kj}}$  موجود در معادله (۳) و جایگزینی آنها در همان معادله، می توان  $\sigma_{ij}$  را بدست آورد و سپس از آن نسبت به  $X_j$  ها مشتق گرفت و در معادله (۱) قرار داد.

در حالت  $i=1$  معادله حرکت در جهت  $X_1$  بدست خواهد آمد که به علت طولانی بودن، در پیوست ارائه شده است. با تعویض چرخشی اندیس ها در آن، می توان معادله حرکت در جهات  $X_2$  و  $X_3$  را بدست آورد. این معادلات غیرخطی با مشتقات جزئی بر حسب ۲۷ متغیر  $u_{i,j,k}$  و  $u_{i,jk}$  بوده که در آنها  $u_{i,jk} = u_{i,jk}$  می باشد.

جابجایی کل در هر نقطه از محیط، ترکیبی از دو بخش استاتیکی و دینامیکی است. بخش استاتیکی در اثر تنش پسماند و بخش دینامیکی به علت انتشار موج الاستیکی

$$\begin{aligned}
 & + \left(\frac{1}{4}n - 2m\right)\varepsilon_3 + (2l + m)\theta\} + m_p \{1, 1_p[\lambda + \mu \\
 & + 2(\lambda + \mu)(\varepsilon_1 + \varepsilon_2) + \left(\frac{1}{4}n - 2m\right)\varepsilon_2 \\
 & + (2l + m)\theta]\} = 0 \quad (13)
 \end{aligned}$$

که در آن،

$$\theta = \varepsilon_1 + \varepsilon_2 + \varepsilon_3$$

اکنون با تعویض چرخشی اندیس ها در معادله (13)، دو مولفه دیگر معادله حرکت بدست می آیند. این معادلات، سه مولفه معادله حرکت را در جهات  $X_1$  و  $X_2$  و  $X_3$  نشان میدهند که بر جهات کرنش های اصلی منطبق می باشند. تفاوت جزئی بین جهات کرنش های اصلی و تنش های اصلی به خاطر غیر ایزوتروپی جزئی ناشی از تنش و یافت قابل اغماض است. با فرض انتشار امواج در صفحات مشخص، می توان این معادلات را ساده تر نیز نمود.

انتشار امواج در صفحه (3-1) برای تحلیل تنش

اگر موج در صفحه (3-1) به نمونه تابانده شود، (شکل 1)، در این حالت کسینوس های هادی بردار موج دارای مقادیر زیر می باشند:

$$1_1^2 + 1_2^2 = 1, \quad 1_3 = 0 \quad (14)$$

با توجه به رابطه (14)، معادلات حاصله برای حرکت ذره (رابطه (13)) در جهات 1 و 2 و 3 را می توان به شکل زیر نیز بازنویسی کرد.

$$\begin{bmatrix} G_{11} \rho v^2 & 0 & G_{13} \\ 0 & G_{22} \rho v^2 & 0 \\ G_{31} & 0 & G_{33} \rho v^2 \end{bmatrix} \begin{bmatrix} m_1 \\ m_2 \\ m_3 \end{bmatrix} = 0 \quad (15)$$

$$\begin{aligned}
 G_{11} = & 1_1^2 \{[\lambda + 2\mu + (4\lambda + 10\mu + 4m)\varepsilon_1 \\
 & + (\lambda + 2l)\theta] + 1_2^2 [\mu - (\gamma\mu + \frac{m}{4})\varepsilon_2 \\
 & + 2\mu\varepsilon_3 + (\lambda + 2\mu + m)\theta]\}
 \end{aligned}$$

کوچکی را نشان می دهد که به جابجایی های استاتیکی محدود اضافه می شوند. اکنون با استفاده از بسط تیلور، شکل مناسبی از مولفه های جابجایی را می توان برای جایگزینی در معادلات حرکت ایجاد کرد. معادله حرکت در راستای  $X_1$ ، همانطور که در پیوست دیده می شود، تابعی از  $2\gamma$  متغیر است که با چشم پوشی از اختلاف جزئی میان  $\rho$  و  $\rho_0$ ، می توان آن را بصورت زیر بیان کرد:

$$\rho u_1 = f(u_{1,1}, u_{2,1}, u_{3,1}, u_{1,11}, u_{1,12}, u_{1,13}, u_{2,11}, u_{2,12}, u_{2,13}, u_{3,11}, u_{3,12}, u_{3,13})$$

این تابع، یک تابع تحلیلی است و می توان آن را حول موقعیت تغییر شکل استاتیکی بصورت زیر بسط داد:

$$\rho u_1 = f(u_{1,1}^0, u_{2,1}^0, u_{3,1}^0, u_{1,11}^0, u_{1,12}^0, u_{1,13}^0, u_{2,11}^0, u_{2,12}^0, u_{2,13}^0, u_{3,11}^0, u_{3,12}^0, u_{3,13}^0)$$

$$+ [(d_{11} \frac{\partial}{\partial u_{1,1}} + d_{12} \frac{\partial}{\partial u_{1,2}} + d_{13} \frac{\partial}{\partial u_{1,3}} + d_{21} \frac{\partial}{\partial u_{2,1}} + \dots + d_{111} \frac{\partial}{\partial u_{1,11}} + d_{112} \frac{\partial}{\partial u_{1,12}} + d_{113} \frac{\partial}{\partial u_{1,13}} + \dots + d_{1111} \frac{\partial}{\partial u_{1,111}} + d_{1112} \frac{\partial}{\partial u_{1,112}} + d_{1113} \frac{\partial}{\partial u_{1,113}} + \dots + d_{11111} \frac{\partial}{\partial u_{1,1111}} + \dots] f \Big|_{stat} + H.O.T \quad (11)$$

علامت  $|_{stat}$  نشان میدهد که مشتقات در موقعیت استاتیکی محاسبه می شوند. با استفاده از معادله (6)،  $d_{11}$  و  $d_{12}$  و ... را می توان به صورت زیر نوشت.

$$\begin{aligned}
 d_{ij} &= u_{i,j} - u_{i,j}^0 = u_{i,j}^d \\
 d_{ijk} &= u_{i,jk} - u_{i,jk}^0 = u_{i,jk}^d \quad (12)
 \end{aligned}$$

در نهایت پس از قراردادن روابط و انجام ساده سازی ها و با در نظر گرفتن  $V^2 = (\omega^2/K^2)$ ، مولفه خطی شده معادله حرکت در جهت  $X_1$  به صورت زیر بدست می آید.

$$\begin{aligned}
 m_1 \{ & -\rho V^2 + 1_1^2 [\lambda + 2\mu + (4\lambda + 10\mu + 4m)\varepsilon_1 \\
 & + (\lambda + 2l)\theta] + 1_2^2 [\mu + 2\mu\varepsilon_2 - (\gamma\mu + \frac{1}{4}n)\varepsilon_3 \\
 & + (\lambda + 2\mu + m)\theta] + 1_3^2 [\mu - (\gamma\mu + \frac{1}{4}n)\varepsilon_2 \\
 & + 2\mu\varepsilon_3 + (\lambda + 2\mu + m)\theta]\} \\
 & + m_p \{1, 1_p[\lambda + \mu + 2(\lambda + \mu)(\varepsilon_1 + \varepsilon_2)
 \end{aligned}$$

$$\begin{aligned}
 & + \{I_1^{\lambda}[\lambda + \gamma_1 + I_1^{\lambda} [m - \frac{n}{\gamma} - \gamma_1] - \gamma_1 I_1^{\lambda} (1 - I_1^{\lambda}) \\
 & \quad (\frac{n}{\gamma} - m + \gamma_1) + (1 - I_1^{\lambda})[\lambda + m - \frac{n}{\gamma} \\
 & + I_1^{\lambda} [\gamma_1 - m + \frac{n}{\gamma}]]\} \varepsilon_{\gamma} \\
 & + \{I_1^{\lambda}[\lambda + \gamma_1 + I_1^{\lambda} [4\mu - \gamma_1 + m] - \gamma_1 I_1^{\lambda} (1 - I_1^{\lambda}) \\
 & \quad [2\lambda + 2\mu + \gamma_1 + m] + (1 - I_1^{\lambda})[\lambda + 2\mu \\
 & + m + I_1^{\lambda} [4\lambda - 8\mu + \gamma_1 + 3m]]\} \varepsilon_{\beta} \quad (19)
 \end{aligned}$$

انتشار امواج در صفحه (۳-۲) برای تحلیل تنش اگر موج در صفحه (۳-۲) به نمونه تابانده شود شکل (۱)، در این حالت کسینوس های هادی بردار موج دارای مقادیر زیر می باشند.

$$I_1 = 0, \quad I_1^{\lambda} + I_1^{\beta} = 1 \quad (20)$$

ادامه روند حل، کاملاً شبیه مرحله قبل است و در نهایت فرم خطی شده معادله حرکت در صفحه (۳-۲) بر حسب کرنش های اصلی، به صورت زیر بدست می آید.

$$\begin{aligned}
 \Gamma_{\gamma}^{(2-3)} = \rho V_{\gamma}^2 = \mu + \{I_1^{\lambda}[\lambda + \gamma_1 + I_1^{\lambda} \\
 [-2\lambda + m - \frac{n}{\gamma}] - \gamma_1 I_1^{\lambda} (1 - I_1^{\lambda}) (\gamma_1 - m + \frac{n}{\gamma}) \\
 + (1 - I_1^{\lambda})[\lambda + m - \frac{n}{\gamma} + I_1^{\lambda} [2\lambda - m + \frac{n}{\gamma}]]\} \varepsilon_1 \\
 + \{I_1^{\lambda} [5\lambda + 10\mu + \gamma_1 + 4m \\
 + I_1^{\lambda} [-4\lambda - 8\mu - \gamma_1 - 3m]] \\
 - \gamma_1 I_1^{\lambda} (1 - I_1^{\lambda}) [2\lambda + 2\mu + \gamma_1 + m] \\
 + (1 - I_1^{\lambda})[\lambda + 4\mu + m + I_1^{\lambda} [-4\mu + \gamma_1 - m]]\} \varepsilon_{\gamma} \\
 + \{I_1^{\lambda}[\lambda + \gamma_1 + I_1^{\lambda} [4\mu - \gamma_1 + m] - \gamma_1 I_1^{\lambda} (1 - I_1^{\lambda}) \\
 [2\lambda + 2\mu + \gamma_1 + m] + (1 - I_1^{\lambda})[\lambda + 2\mu \\
 + m + I_1^{\lambda} [4\lambda - 8\mu + \gamma_1 + 3m]]\} \varepsilon_{\beta} \quad (21)
 \end{aligned}$$

### روابط تنش - کرنش

هنگامی که معادلات حرکت به صورت معادلات خطی درآیند، تنش کوشی قابل تبدیل به تنش مهندسی بوده [4] و کرنش های اویلری به کرنش های لاگرانژی تبدیل می شوند و روابط تنش - کرنش، به شکل روابط

$$\begin{aligned}
 G_{1\gamma} &= I_1 I_{\beta} \{[\lambda + \mu + \gamma_1 (\lambda + \mu) (\varepsilon_1 + \varepsilon_{\beta}) \\
 & \quad + (\frac{1}{\gamma} n - 2m) \varepsilon_{\gamma} + (\gamma_1 + m) \theta]\} \\
 G_{\gamma\gamma} &= I_1^{\lambda} \{[\mu + 2\mu \varepsilon_1 - (\gamma_1 \mu + \frac{n}{\gamma}) \varepsilon_{\beta} \\
 & \quad + (\lambda + 2\mu + m) \theta] + I_1^{\lambda} [\mu - (\gamma_1 \mu + \frac{n}{\gamma}) \varepsilon_1 + 2\mu \varepsilon_{\beta} \\
 & \quad + (\lambda + 2\mu + m) \theta]\} \\
 G_{\gamma\beta} &= I_1^{\lambda} \{[\mu + 2\mu \varepsilon_1 - (\gamma_1 \mu + \frac{n}{\gamma}) \varepsilon_{\beta} \\
 & \quad + (\lambda + 2\mu + m) \theta] + I_1^{\lambda} [\lambda + 2\mu + (4\lambda \\
 & \quad + 10\mu + 4m) \varepsilon_{\beta} + (\lambda + \gamma_1) \theta]\} \quad (16)
 \end{aligned}$$

می باشند، پس از حل، مقادیر ویژه معادله (۱۵) عبارتند از:

$$\rho V_1^2 = \frac{1}{\gamma} [G_{11} + G_{33} + ((G_{11} - G_{33})^2 + 4G_{13}^2)^{1/2}] \quad (17\text{الف})$$

$$\rho V_2^2 = G_{\gamma\gamma} \quad (17\text{ب})$$

$$\rho V_3^2 = \frac{1}{\gamma} [G_{11} + G_{33} - ((G_{11} - G_{33})^2 + 4G_{13}^2)^{1/2}] \quad (17\text{پ})$$

در روابط (۱۷)،  $V_1$  از نوع امواج شبه طولی،  $V_2$  از نوع امواج شبه عرضی SH و  $V_3$  از نوع امواج شبه عرضی SV است. رابطه (۱۹) با استفاده از سری تیلور، به صورت زیر بسط داده شده و خطی می شود:

$$\begin{aligned}
 \Gamma_{\gamma}^{(1-3)} = f(\varepsilon) + \left\{ \left[ \frac{\partial f}{\partial G_{11}} \frac{\partial G_{11}}{\partial \varepsilon_i} + \frac{\partial f}{\partial G_{13}} \frac{\partial G_{13}}{\partial \varepsilon_i} \right. \right. \\
 \left. \left. + \frac{\partial f}{\partial G_{33}} \frac{\partial G_{33}}{\partial \varepsilon_i} \right] \right\} \varepsilon_i \\
 i = 1, 2, 3, \quad f(\varepsilon) = \mu \quad (18)
 \end{aligned}$$

پس از انجام مشتق گیری و ساده کردن روابط، معادله زیر حاصل می شود.

$$\begin{aligned}
 \Gamma_{\gamma}^{(1-3)} = \rho V_{\gamma}^2 = \mu + \{I_1^{\lambda} [5\lambda + 10\mu + 4m + \gamma_1 \\
 + I_1^{\lambda} [-4\lambda - 8\mu - 3m - 2\gamma_1]] \\
 - \gamma_1 I_1^{\lambda} (1 - I_1^{\lambda}) [2\lambda + 2\mu + \gamma_1 + m] \\
 + (1 - I_1^{\lambda}) [4\mu + \lambda + m + I_1^{\lambda} [-4\mu + \gamma_1 - m]]\} \varepsilon_1
 \end{aligned}$$

که  $\Delta_{ij}$  به صورت زیر تعریف می‌شوند.

$$\Delta_{ij} = C \delta_{ij} \quad (25)$$

ضریب ثابت  $C$  و ضرایب لامه  $\lambda$  و  $\mu$  نیز به صورت زیر بدست می‌آیند [7].

$$C = C'_{11} - C'_{12} - 2C'_{22}$$

$$\mu = C'_{22} + \frac{1}{\delta} C, \quad 2\mu + \lambda = C'_{11} - \frac{2}{\delta} C \quad (26)$$

در نورد یک جانبه شمش، شکل (۱)،  $\delta_{ij}$  ها نیز به صورت توابعی از پارامترهای بافت توسط سیرز [8]

تعریف شده‌اند:

$$\delta_{11} = \frac{12\sqrt{2}\pi^2}{35} (W_{f_{00}} - \frac{2\sqrt{10}}{3} W_{f_{20}} + \frac{\sqrt{V_0}}{3} W_{f_{40}})$$

$$\delta_{22} = \frac{12\sqrt{2}\pi^2}{35} (W_{f_{00}} + \frac{2\sqrt{10}}{3} W_{f_{20}} + \frac{\sqrt{V_0}}{3} W_{f_{40}})$$

$$\delta_{33} = \frac{32\sqrt{2}\pi^2}{35} (W_{f_{00}})$$

$$\delta_{44} = \delta_{22} = \frac{-16\sqrt{2}\pi^2}{35} (W_{f_{00}} + \frac{\sqrt{\Delta}}{2} W_{f_{20}})$$

$$\delta_{55} = \delta_{12} = \frac{-16\sqrt{2}\pi^2}{35} (W_{f_{00}} - \frac{\sqrt{\Delta}}{2} W_{f_{20}})$$

$$\delta_{66} = \delta_{12} = \frac{4\sqrt{2}\pi^2}{35} (W_{f_{00}} - \sqrt{V_0} W_{f_{40}}) \quad (27)$$

در نورد دوجانبه شمش نیز،  $\delta_{ij}$  ها به صورت توابعی از پارامترهای بافت تعریف شده‌اند [9]:

$$\delta_{11} = \frac{24\sqrt{2}\pi^2}{35} (W_{f_{00}} - \frac{2\sqrt{10}}{3} W_{f_{20}} + \frac{\sqrt{V_0}}{3} W_{f_{40}})$$

$$\delta_{22} = \delta_{33} = \frac{12\sqrt{2}\pi^2}{35} (\frac{11}{3} W_{f_{00}} + \frac{2\sqrt{10}}{3} W_{f_{20}} + \frac{\sqrt{V_0}}{3} W_{f_{40}})$$

ساده متداول برای حالت کرنش کوچک درمی‌آیند. با چشم‌پوشی از تفاوت جزئی میان جهات تنشهای اصلی با کرنش‌های اصلی، روابط تنش - کرنش به صورت زیر نوشته می‌شوند:

$$\sigma_1 = \lambda\theta + 2\mu\varepsilon_1$$

$$\sigma_2 = \lambda\theta + 2\mu\varepsilon_2$$

$$\sigma_3 = \lambda\theta + 2\mu\varepsilon_3 \quad (22)$$

که در آن،

$$\theta = \varepsilon_1 + \varepsilon_2 + \varepsilon_3$$

### تحلیل بافت

در یک جسم جامد الاستیک بدست آمده از نورد یک یا دو جانبه (شمش)، که قبل از عملیات مکانیکی ایزوتروپ بوده است، بر اثر نورد، تغییراتی در ریز ساختار آن بوجود می‌آید و در اقع بافت ماده دگرگون می‌شود. در این حالت شمش به طور جزئی از حالت ایزوتروپی خارج می‌شود و مدول الاستیک آن نیز به صورت زیر دچار تغییر می‌شود [6].

$$C_{ij} = C_{ij}^0 + \Delta_{ij}; \quad i, j = 1, 2, \dots, 6 \quad (23)$$

که  $C_{ij}^0$  ماتریس ضرایب الاستیک ماده در حالت ایزوتروپیک و  $\Delta_{ij}$  تغییرات ضرایب الاستیک ماده است. در رابطه بالا همواره ارتباط  $\Delta_{ij} > C_{ij}^0$  برقرار می‌باشد. بنابراین، ماتریس ضرایب الاستیک به صورت زیر تغییر خواهد کرد.

$$C_{ij} = \begin{bmatrix} 2\mu + \lambda + \Delta_{11} & \lambda + \Delta_{12} & \lambda + \Delta_{13} & 0 & 0 & 0 \\ \lambda + \Delta_{12} & 2\mu + \lambda + \Delta_{22} & \lambda + \Delta_{23} & 0 & 0 & 0 \\ \lambda + \Delta_{13} & \lambda + \Delta_{23} & 2\mu + \lambda + \Delta_{33} & 0 & 0 & 0 \\ 0 & 0 & 0 & \mu + \Delta_{44} & 0 & 0 \\ 0 & 0 & 0 & 0 & \mu + \Delta_{55} & 0 \\ 0 & 0 & 0 & 0 & 0 & \mu + \Delta_{66} \end{bmatrix}$$

آزمایشگاه‌ها انجام می‌شود، می‌توان آنها را ساده‌تر کرد.

انتشار امواج در صفحه (۳-۱) برای تحلیل بافت همانطور که قبلاً نیز اشاره شد، در این حالت کسینوس‌های هادی بردار موج (۱) بصورت رابطه (۱۴) می‌باشند که با توجه به آن، مقادیر  $G_{ik}$  به صورت زیر بدست می‌آیند:

$$\begin{aligned} G_{11} &= C_{11} + (C_{55} - C_{11})I_3^2 \\ G_{22} &= C_{66} + (C_{44} - C_{66})I_3^2 \\ G_{33} &= C_{55} + (C_{33} - C_{55})I_3^2 \\ G_{13} &= (C_{13} + C_{55})I_3 \sqrt{1 - I_3^2} \\ G_{12} &= G_{23} = 0 \end{aligned} \quad (32)$$

با جایگذاری مؤلفه‌های  $G_{ik}$  از روابط (۳۲) در رابطه (۲)، مقادیر ویژه (سرعت‌های موج) به صورت روابط (۱۹) بدست می‌آیند. در این مورد نیز،  $V_1$  از نوع امواج شبه‌طولی،  $V_2$  از نوع امواج شبه عرضی SH و  $V_3$  از نوع امواج شبه عرضی SV است. به منظور ساده‌تر نوشتن فرض می‌شود که:

$$W_3 = W_{440}, W_2 = W_{220}, W_1 = W_{400} \quad (33)$$

اکنون روابط فوق با استفاده از سری تیلور، به صورت زیر بسط داده می‌شوند.

$$\begin{aligned} \Gamma_3^{(1-3)} &= \rho V_3^2 = g(W_1, W_2, W_3) = g(0, 0, 0) \\ &+ \frac{\partial g}{\partial W_n} \Big|_{(0,0,0)} W_n; \quad n = 1, 2, 3 \end{aligned} \quad (34)$$

با توجه به روابط (۲۳)، (۲۵)، (۲۷)، (۲۸)، (۳۲) و (۱۷) (پ)، معادله (۳۴) به معادله زیر تبدیل می‌شود:

$$\begin{aligned} \rho V_3^2 &= \mu + \frac{\partial g}{\partial G_{mk}} \frac{\partial G_{mk}}{\partial C_{ij}} \frac{\partial C_{ij}}{\partial \Delta_{ij}} \frac{\partial \Delta_{ij}}{\partial W_n} \Big|_{(0,0,0)} W_n \\ i, j &= 1, 2, \dots, 6, \quad m, n = 1, 2, 3 \end{aligned} \quad (35)$$

$$\delta_{44} = \delta_{23} = \frac{-32\sqrt{2}\pi^2}{35} (W_{400} + \sqrt{\frac{5}{2}} W_{220})$$

$$\delta_{55} = \delta_{13} = \delta_{66} = \delta_{12} = \frac{-16\sqrt{2}\pi^2}{35}$$

$$\left( \frac{2}{3} W_{400} - \sqrt{\frac{5}{2}} W_{220} + \frac{\sqrt{5}}{3} W_{440} \right) \quad (28)$$

قبلاً اشاره شد که انتشار امواج در اجسام باعث ایجاد تغییر شکل‌های کوچک دینامیکی در آن‌ها می‌شود. با در نظر گرفتن یک المان به ابعاد  $\delta x_1$  و  $\delta x_2$  و  $\delta x_3$  در مختصات کارتزین، با توجه به تعادل نیروها در امتدادهای  $x_1$  و  $x_2$  و  $x_3$  و ساده کردن روابط فوق و بدون در نظر داشتن نیروهای حجمی، معادله کلی حرکت بصورت رابطه (۱) بدست می‌آید. با در نظر داشتن رابطه (۱) و روابط تنش - کرنش، رابطه کرنش - جابجایی و نیز با تعریف تابع جابجایی دینامیکی ذرات موج  $u_i$ ، [4]، روابط زیر موسوم به روابط کریستوفل [10]، برای انتشار امواج الاستیک در مواد غیر ایزوتروپیک حاصل می‌شوند.

$$(C_{ijkl} |_{j, l} |_{j, l} - \rho V^2 \delta_{ik}) m_k = 0 \quad (29)$$

$m_k$  می‌تواند همه مقادیر اختیاری را دارا باشد و نه لزوماً مقادیر برابر صفر را، پس با توجه به رابطه (۲۹)، ضریب  $m_k$  باید برابر با صفر باشد. بنابراین،

$$|C_{ijkl} |_{j, l} |_{j, l} - \rho V^2 \delta_{ik}| = 0 \quad (30)$$

فرض می‌شود که،

$$G_{ik} = C_{ijkl} \quad (31)$$

با استفاده از روابط (۲۴) و (۳۱) و استفاده از الگوی فشرده‌نویسی ویت [4]، مؤلفه‌های  $G_{ik}$  بدست آمده و با قراردادن آنها در رابطه (۲۹)، مقادیر ویژه (سرعت‌های موج) بدست می‌آیند. روابط بدست آمده به دلیل پیچیده بودن چندان قابل استفاده نمی‌باشند. از این‌رو، با فرض انتشار موج در صفحات مشخص، آن‌گونه که معمولاً در

مقادیر  $C_1^*$ ,  $C_2^*$ ,  $C_3^*$  در کلیه روابط (۳۶)، (۳۷)، (۳۸) و (۳۹)، از قرار زیر می‌باشند:

$$C_1^* = \frac{4\sqrt{12\pi^2}C}{35}$$

$$C_2^* = \frac{16\sqrt{5\pi^2}C}{35}$$

$$C_3^* = \frac{8\sqrt{35\pi^2}C}{35} \quad (40)$$

### روابط نهایی

اندازه‌گیری تنش پسماند بدون تحلیل بافت، بدرستی میسر نمی‌باشد. تغییرات ناشی از تنش پسماند در سرعت انتشار امواج طی روابط (۱۹) و (۲۱) بصورت روابط سرعت - کرنش بدست آمده‌اند. با استفاده از این روابط، کرنش‌های پسماند بدون در نظر داشتن اثرات بافت محاسبه می‌شوند. فرم کلی روابط (۱۹) و (۲۱) را می‌توان بصورت زیر در نظر گرفت:

$$\rho v^2 = \mu + (\text{تغییرات ناشی از تنش پسماند})$$

تحلیل بافت نیز به وسیله روابط (۳۶) تا (۳۹) میسر بوده که دارای شکل کلی زیر می‌باشند:

$$\rho v^2 = \mu + (\text{تغییرات ناشی از بافت})$$

اکنون با توجه به نوع عملیات نورد (یک جانبه یا دو جانبه بودن آن) و همچنین، صفحه مورد نظر برای انتشار امواج (صفحه (۱-۳) یا صفحه (۲-۳)) می‌توان روابط مناسب برای تحلیل تنش پسماند و بافت را گزینش و بصورت زیر بسادگی با هم ترکیب نمود:

$$\rho v^2 = \mu + (\text{تغییرات ناشی از تنش پسماند})$$

$$+ (\text{تغییرات ناشی از بافت}) \quad (41)$$

به عنوان مثال در مورد شمش نورد یک جانبه شده، برای بدست آوردن رابطه میان تغییرات سرعت انتشار امواج عرضی QSV با کرنش و پارامترهای بافت در صفحه (۱-۳)، کافی است که روابط (۲۹) و (۳۶) را با توجه به

در شمش نورد یک جانبه شده برای حالت انتشار امواج در صفحه (۱-۳)، با توجه به رابطه (۳۵) و بدست آوردن هر یک از مؤلفه‌های مشتقات فوق، با استفاده از روابط (۲۳)، (۲۵)، (۲۷)، (۳۲) و (۱۷ پ) و قراردادن آنها در رابطه (۳۵)، رابطه زیر بدست می‌آید.

$$\Gamma_p^{(1-3)} = \rho v_p^2 = \mu + C_1^*[-4 + 35I_p^2(1-I_p^2)]W_{\varphi_{00}} + C_2^*[-1-7I_p^2(1-I_p^2)]W_{\varphi_{20}} + C_3^*[I_p^2(1-I_p^2)]W_{\varphi_{40}} \quad (36)$$

در مورد شمش نورد دو جانبه شده نیز، با توجه به رابطه (۳۵) و بدست آوردن هر یک از مؤلفه‌های مشتقات فوق، با استفاده از روابط (۲۳)، (۲۵)، (۲۸)، (۳۲) و (۱۷ پ) و قراردادن آنها در رابطه (۳۵)، رابطه زیر حاصل می‌شود.

$$\Gamma_p^{(1-3)} = \rho v_p^2 = \mu + C_1^*[-3 + 35I_p^2(1-I_p^2)]W_{\varphi_{00}} + C_2^*[1-7I_p^2(1-I_p^2)]W_{\varphi_{20}} + C_3^*[-1+9I_p^2(1-I_p^2)]W_{\varphi_{40}} \quad (37)$$

انتشار امواج در صفحه (۲-۳) برای تحلیل بافت همانند قبل، در این حالت کسینوس‌های هادی بردار موج (۱) به صورت رابطه (۲۰) می‌باشند. ادامه روند حل، کاملاً شبیه مرحله قبل بوده و در نهایت فرم خطی شده معادله حرکت در صفحه (۲-۳) بر حسب پارامترهای بافت، به صورت زیر برای شمش نورد یک جانبه شده بدست می‌آید.

$$\Gamma_p^{(2-3)} = \rho v_p^2 = \mu + C_1^*[-4 + 35I_p^2(1-I_p^2)]W_{\varphi_{00}} + C_2^*[-1+7I_p^2(1-I_p^2)]W_{\varphi_{20}} + C_3^*[I_p^2(1-I_p^2)]W_{\varphi_{40}} \quad (38)$$

معادله حرکت برای شمش نورد دو جانبه شده نیز، برحسب پارامترهای بافت، به شکل زیر بدست می‌آید.

$$\Gamma_p^{(2-3)} = \rho v_p^2 = \mu + C_1^*[-8 + 70I_p^2(1-I_p^2)]W_{\varphi_{00}} + C_2^*[-2+16I_p^2(1-I_p^2)]W_{\varphi_{20}} + C_3^*[2I_p^2(1-I_p^2)]W_{\varphi_{40}} \quad (39)$$



توجه به رابطه (۴۱) با هم ترکیب نمود. کرنش‌های اصلی نیز طبق رابطه (۴۲) ساده می‌شوند.

بطور کلی، زوایایی که در آزمایشات تابش مورب در محدوده زوایای بحرانی اول و بحرانی دوم قابل اندازه‌گیری هستند، عبارتند از زاویه تابش  $\phi$  که از محور ۳ اندازه‌گیری می‌شود و زاویه  $\gamma$  که زاویه میان صفحه انتشار موج و محور ۱ است که زاویه دوران ترانسدویسر می‌باشد.

در قسمت‌های قبل روابط میان سرعت انتشار موج در مواد با کرنش پسماند و پارامترهای بافت بدست آمدند و نحوه ترکیب آنها نیز در این قسمت بررسی شد. اکنون نمودارها و توضیحات بیشتری در زمینه کاربرد این روابط ارائه می‌شود. اگرچه برای ترسیم نمودارها از خواص مکانیکی آلیاژ آلومینیوم استفاده شده اما روابط بدست آمده برای سایر فلزات و آلیاژها نیز به همین صورت قابل استفاده می‌باشند. مقدار ثابت‌های الاستیک مرتبه دوم و سوم برای آلومینیوم چنین اندازه‌گیری و ارائه شده‌اند [11]:

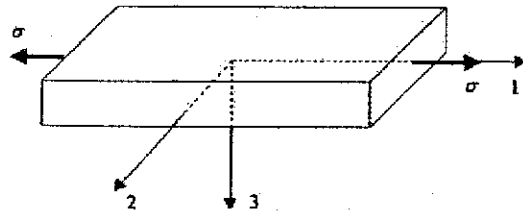
$$\lambda = 57 \text{ GPa}, \quad \mu = 27 \text{ GPa}, \quad l = 185 \text{ GPa}, \\ m = -316 \text{ GPa}, \quad n = -350 \text{ GPa}$$

پارامترهای بافت  $(W_{F_{00}}, W_{F_{20}}, W_{F_{40}})$  و ضرایب الاستیک کریستال مکعبی  $(C'_{11}, C'_{12}, C'_{44})$  نیز به صورت زیر ثبت شده‌اند [12]:

$$\rho = 2730 \text{ kg/m}^3 \\ W_{F_{00}} = 0/001358 \\ W_{F_{20}} = 0/00190 \\ W_{F_{40}} = -0/005590 \\ C'_{11} = 10/82 \times 10^{10} \text{ (Pa)} \\ C'_{12} = 6/13 \times 10^{10} \text{ (Pa)} \\ C'_{44} = 2/85 \times 10^{10} \text{ (Pa)}$$

رابطه (۴۱) با هم ترکیب نمود. البته در این حالت، با در نظر گرفتن شمش به عنوان یک جسم یک بعدی می‌توان رابطه (۱۹) را ساده‌تر کرد. با فرض تنش یک بعدی در شمش و با استفاده از ضریب پواسان، کرنش‌ها به صورت زیر ساده می‌شوند (شکل (۲)).

$$\varepsilon_1 = \varepsilon, \quad \varepsilon_2 = \varepsilon_3 = -\nu\varepsilon \quad (42)$$



شکل ۲ میدان تنش یک بعدی در شمش

در نهایت، رابطه بین تغییرات سرعت انتشار امواج عرضی QSV با کرنش پسماند و پارامترهای بافت در صفحه (۱-۳) برای شمش نورد یک جانبه شده بصورت زیر بدست می‌آید:

$$\Gamma_{\psi}^{(1-3)} = \rho v_{\psi}^2 = \mu + \{ l_{\psi}^2 [\Delta l + 10\mu + 4m + 2l - \nu(2\lambda + 4l)] + l_{\psi}^2 [-4\lambda - 8\mu - 3m - 2l - \nu(4\mu + 2m - 4l - \frac{n}{\psi})] \} - 2l_{\psi}^2 (1 - l_{\psi}^2) \{ [2\lambda + 2\mu + 2l + m - \nu(2\lambda + 2\mu + 4l + \frac{n}{\psi})] + (1 - l_{\psi}^2) [4\mu + \lambda + m - \nu(2\mu + 2\lambda + 2m - \frac{n}{\psi})] + l_{\psi}^2 [-4\mu + 2l - m - \nu(8\mu + 4\lambda + 4l + 2m + \frac{n}{\psi})] \} \varepsilon \\ + \{ C_{\psi}^* [-4 + 35l_{\psi}^2 (1 - l_{\psi}^2)] W_{F_{00}} + C_{\psi}^* [1 - 7l_{\psi}^2] W_{F_{20}} + C_{\psi}^* l_{\psi}^2 (1 - l_{\psi}^2) W_{F_{40}} \} \quad (43)$$

برای  $C_{\psi}^*$  و  $C_{\psi}^*$  در روابط (۴۰) تعریف شده‌اند. برای بدست آوردن رابطه میان تغییرات سرعت انتشار امواج عرضی QSV با کرنش پسماند و پارامترهای بافت در صفحه (۲-۳) نیز کافی است روابط (۲۱) و (۳۸) را با

می‌توان به صورت زیر در نظر گرفت.

$$\rho V_{(1-3)}^2 = \mu + S_i^{(1-3)} \varepsilon_i + T_i^{(1-3)} W_i \quad (44)$$

بر همین منوال، در صفحه (۲-۳).

$$\rho V_{(2-3)}^2 = \mu + S_i^{(2-3)} \varepsilon_i + T_i^{(2-3)} W_i \quad (45)$$

$S_i$  ها بر حسب ثابت‌های الاستیک مرتبه دوم و سوم از روابط سرعت - کرنش (روابط (۱۹) و (۲۶)) حاصل می‌شوند و  $T_i$  ها نیز تابعی از  $C_i^*$  (روابط (۴۰)) و  $\rho$  هستند که از روابط سرعت - بافت بدست می‌آیند (روابط (۳۶) و (۳۸)) برای شمش نورد یک جانبه شده و روابط (۳۷) و (۳۹) برای شمش نورد دو جانبه شده).

در رابطه (۴۴)، شش مجهول وجود دارد که با اندازه‌گیری سرعت QSV در هر نقطه با شش زاویه تابش مختلف در بازه زوایای بحرانی اول و دوم برای هر آلیاژ خاص می‌توان مقادیر مجهولات  $\varepsilon_i$  و  $W_i$  را در آن نقطه به دست آورد. به این ترتیب پارامترهای بافت از کرنش‌های اصلی پسماند جدا خواهند شد. پس از محاسبه کرنش‌های اصلی، می‌توان تنش‌های اصلی پسماند را با استفاده از روابط (۲۲) محاسبه کرد. مولفه‌های تانسور تنش در آن نقطه نیز به وسیله مسئله مقادیر ویژه برای تنش‌ها و یا بسادگی از طریق دایره مور بدست می‌آیند. همچنین مجموع مقادیر ویژه طبق روابط (۴۴) و (۴۵) بصورت زیر محاسبه می‌شود.

$$\rho V_{(1-3)}^2 + \rho V_{(2-3)}^2 = \sum S_i \varepsilon_i + \sum T_i W_i + 2\mu \quad (46)$$

$$\sum S_i = S_i^{(1-3)} + S_i^{(2-3)} \quad ; \quad i=1,2,3$$

$$\sum T_i = T_i^{(1-3)} + S_i^{(2-3)} \quad ; \quad i=1,2,3$$

معادله (۴۶) بر  $\rho_0 V_0^2 = \mu$  که مقدار ویژه ماده ایزوتروپ می‌باشد، با چشم‌پوشی از اختلاف جزئی میان  $\rho_0$  و  $\rho$ ، تقسیم می‌شود. بنابراین:

تغییرات سرعت انتشار موج QSV با کرنش پسماند بر حسب مقادیر مختلف زاویه تابش، طبق رابطه (۴۳) در صفحه (۱-۳)، با چشم‌پوشی از اثرات بافت در شکل (۳) و یا در نظر گرفتن اثرات بافت در شکل (۴) رسم شده است. برای مقایسه بهتر، تغییرات سرعت انتشار موج QSV با کرنش پسماند در صفحه‌های (۱-۳) و (۲-۳) نیز، به ترتیب، بدون در نظر گرفتن اثرات بافت و همچنین، با در نظر گرفتن اثرات بافت، در شکل‌های (۵) و (۶) رسم شده‌اند. با مقایسه شکل‌های فوق مشاهده می‌شود که وجود اثرات بافت باعث می‌گردد که منحنی‌های سرعت در  $\varepsilon=0$  در شکل‌های (۴) و (۶) از یک نقطه مشترک آغاز نشوند. به این ترتیب، در تحلیل تنش پسماند به روش اولتراسونیک، برای کسب نتایج دقیق، باید اثرات بافت را نیز مورد ارزیابی قرار داد.

خطای ناشی از خطی کردن معادلات حرکت (سرعت - کرنش) نیز در شکل (۷) ارائه شده است که بسیار ناچیز بوده و می‌توان از آن چشم‌پوشی کرد. خطای ناشی از خطی کردن روابط سرعت - بافت نیز بسیار کم بوده [۹] و قابل صرف‌نظر کردن می‌باشد.

### تعیین روابط بر حسب زمان

اندازه‌گیری زمان عبور موج از جسم یا تاخیر زمانی (Time delay) یکی از اهداف اصلی انجام ارزیابی‌های فراصوتی می‌باشد و این امر نیازمند اندازه‌گیری بسیار دقیق ضخامت و همچنین جرم حجمی نمونه است که ضمن دشوار بودن، همواره با خطا نیز همراه می‌باشد.

با تبدیل روابط بر حسب زمان، می‌توان ضمن تفکیک اثر تنش پسماند و بافت بر روی سرعت انتشار امواج از یکدیگر، نیاز به اندازه‌گیری ضخامت و جرم حجمی را از معادلات حذف نمود. فرم کلی معادله حرکت در صفحه (۱-۳) را با توجه به رابطه (۴۱)،

در نهایت با ترکیب روابط بالا، رابطه تاخیر زمانی موج بر حسب کرنش پسماند و پارامترهای بافت به صورت زیر برای شمش نورد یک جانبه شده بدست می آید.

$$\frac{1}{\nu} \cdot \frac{\Delta t_{(1-\nu)} \Delta t_{(\nu-3)}}{(\Delta t_{(1-\nu)} + \Delta t_{(\nu-3)})^2} = \nu\lambda + \nu\mu + \nu m - \frac{n}{\nu}$$

$$-2\mu l_p^2 + n l_p^2 (\varepsilon_1 + \varepsilon_2) + (\nu\lambda + \nu\mu + \nu m + \nu\mu l_p^2) \varepsilon_p$$

$$+ \frac{1}{\lambda\mu} [\nu C_1^* [-\nu + \nu\delta l_p^2 (1 - l_p^2)] W_{F_{00}}$$

$$+ \nu C_2^* [l_p^2 (1 - l_p^2)] W_{F_{40}}] \quad (54)$$

مراحل بدست آوردن رابطه مستقل از زمان برای شمش نورد دوجانبه شده نیز کاملاً مشابه مراحل فوق می باشد.

اگلی و کوشتی [13] به طور تجربی آثار کرنش بر روی تاخیر زمانی موج، در زمینه انتشار موج QSV در صفحه (1-3) با (ν=0°) و صفحه (2-3) با (ν=90°) را بررسی کردند. نتایج آنها که در شکل (8) نشان داده شده است، یک ارتباط خطی بین تاخیر زمانی و کرنش اعمال شده را نشان می دهد. نتایج تحلیلی نیز با چشم پوشی از آثار بافت در

شکل (9) و همچنین با در نظر گرفتن آثار بافت در شکل (10) ارائه شده اند. نتایج تجربی (شکل (8)) حاکی از آن

است که خطوط T(0°) و T(90°) در کرنش صفر، از یک نقطه آغاز نمی شوند (به خاطر آثار بافت یا تنش های

پسماند یا ترکیبی از آنها) لیکن نتایج تحلیلی ارائه شده بدون در نظر گرفتن آثار بافت (شکل (9)) در تضاد با آن

است، اما نتایج تحلیلی ارائه شده با در نظر گرفتن آثار بافت (شکل (10)) آن را تأیید می کنند. همچنین از مقایسه نتایج

تجربی و تحلیلی مشاهده می شود که زمان تاخیر در صفحه (1-3) که در امتداد راستای تنش تک محوری قرار دارد،

همراه با تنش تک محوری افزایش پیدا می کند ولی در صفحه (2-3) کاهش می یابد.

$$\frac{V_{(1-\nu)}^2 + V_{(\nu-3)}^2}{V_0} = \frac{1}{\mu} (\sum S_i \varepsilon_i + \sum T_i W_i + \nu\mu) \quad (47)$$

با توجه به اینکه  $V_0 = \frac{1}{\nu} (V_{(1-\nu)} + V_{(\nu-3)})$  نتیجه می شود که،

$$\frac{V_{(1-\nu)}^2 + V_{(\nu-3)}^2}{(V_{(1-\nu)} + V_{(\nu-3)})^2} = \frac{1}{\nu\mu} (\sum S_i \varepsilon_i + \sum T_i W_i) + \frac{1}{\nu} \quad (48)$$

البته رابطه فوق را می توان به صورت زیر نیز ساده کرد.

$$1 - \frac{V_{(1-\nu)}^2 + V_{(\nu-3)}^2}{(V_{(1-\nu)} + V_{(\nu-3)})^2} = \frac{1}{\nu\mu} (\sum S_i \varepsilon_i + \sum T_i W_i) + \frac{1}{\nu} \quad (49)$$

از آنجا که در روش اولتراسونیک، زمان حرکت موج اندازه گیری می شود و نه سرعت انتشار آن، اصطلاح تاخیر زمانی توسط اگلی و کوشتی [13] به صورت زیر تعریف شده است.

$$\Delta t = \frac{\nu h \cos \phi}{V_0} \quad (50)$$

در رابطه بالا، φ زاویه تابش و V<sub>0</sub> سرعت موج در نمونه است. پس با توجه به ارتباط میان Δt و سرعت، رابطه (49) را می توان به صورت زیر تغییر داد:

$$\frac{1}{\nu} - \frac{\Delta t_{(1-\nu)} \Delta t_{(\nu-3)}}{(\Delta t_{(\nu-3)} + \Delta t_{(1-\nu)})^2} = \frac{1}{\lambda\mu} (\sum S_i \varepsilon_i + \sum T_i W_i) \quad (51)$$

با استفاده از روابط (19) و (21) نتیجه می شود که:

$$\begin{aligned} \sum S_1 &= \nu\lambda + \nu\mu + \nu m - \frac{n}{\nu} \nu\mu l_p^2 + n l_p^2 \\ \sum S_2 &= \sum S_1 \\ \sum S_3 &= \nu\lambda + \nu\mu + \nu m + \nu\mu l_p^2 \end{aligned} \quad (52)$$

همچنین با استفاده از روابط (36) و (38) در مورد شمش نورد یک جانبه شده چنین نتیجه گرفته می شود:

$$\begin{aligned} \sum T_1 &= \nu C_1^* [-\nu + \nu\delta l_p^2 (1 - l_p^2)] W_{F_{00}} \\ \sum T_2 &= 0 \\ \sum T_3 &= \nu C_2^* [l_p^2 (1 - l_p^2)] W_{F_{40}} \end{aligned} \quad (53)$$

## نتیجه گیری

عوامل مختلفی از قبیل تنش پسماند، اثرات بافت و انتقال حرارت باعث تغییر سرعت انتشار امواج در جسم می شوند. در تحلیل تنش پسماند به روش اولتراسونیک، بدون بررسی بافت نمی توان تنش های پسماند موجود در جسم را بدرستی و با دقت تعیین کرد. همچنین با داشتن اطلاعاتی در زمینه پارامترهای بافت، می توان از امتدادهای مقاوم تر قطعات در طراحی استفاده نمود.

با تابش امواج در صفحات (۱-۳) و (۲-۳)، می توان معادلات حرکت را خطی کرد. خطای ناشی از خطی کردن معادلات سرعت - کرنش پسماند و سرعت - بافت در این صفحات بسیار کم و قابل چشم پوشی است. تاثیر قانون اسنل نیز بر این روابط بسیار جزئی و قابل اغماض می باشد. با ترکیب روابط فوق، در حالت کلی رابطه سرعت انتشار امواج در اجسام را می توان به صورت زیر در نظر

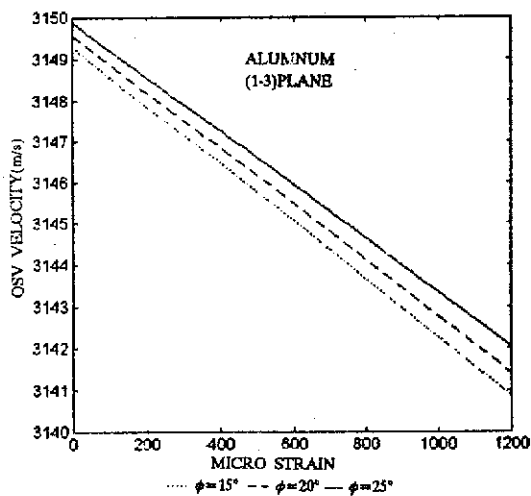
## گرفت:

$$\rho v^2 = \mu + (\text{تغییرات ناشی از تنش پسماند}) + (\text{تغییرات ناشی از بافت})$$

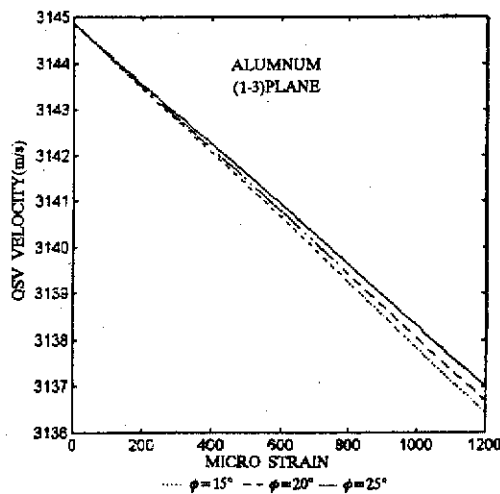
اندازه گیری زمان عبور موج از جسم یا تاخیر زمانی (Time delay) یکی از اهداف اصلی انجام ارزیابی های فراصوتی می باشد و این امر نیازمند به اندازه گیری بسیار دقیق ضخامت و همچنین جرم حجمی نمونه است که ضمن دشوار بودن همواره با خطا نیز همراه می باشد. با در نظر گرفتن اختلاف میان مقادیر ویژه در صفحات (۱-۳) و (۲-۳)، می توان با تبدیل روابط بر حسب زمان، نیاز به اندازه گیری ضخامت و جرم حجمی را نیز از معادلات حذف نمود.

## تشکر و قدردانی

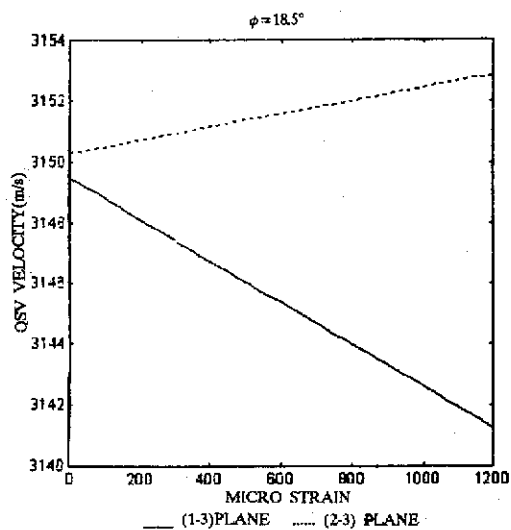
نویسندگان مقاله به این وسیله مراتب تشکر و قدردانی خود را از حمایت مرکز بین المللی علوم و تکنولوژی پیشرفته و علوم محیطی ابراز می دارند.



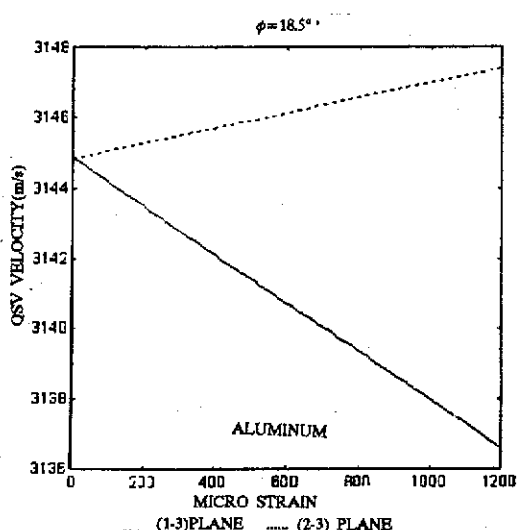
شکل ۴ تغییرات سرعت انتشار موج QSV با کرنش پسماند بر حسب مقادیر مختلف زاویه تابش، طبق رابطه (۴۶) با در نظر گرفتن آثار یافت



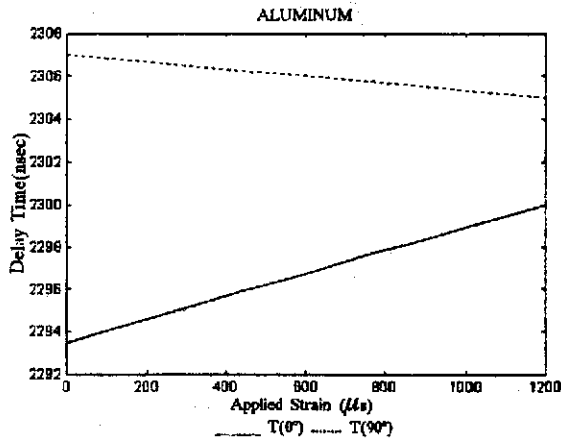
شکل ۳ تغییرات سرعت انتشار موج QSV با کرنش پسماند بر حسب مقادیر مختلف زاویه تابش، طبق رابطه (۴۶) با چشم‌پوشی از اثرات یافت



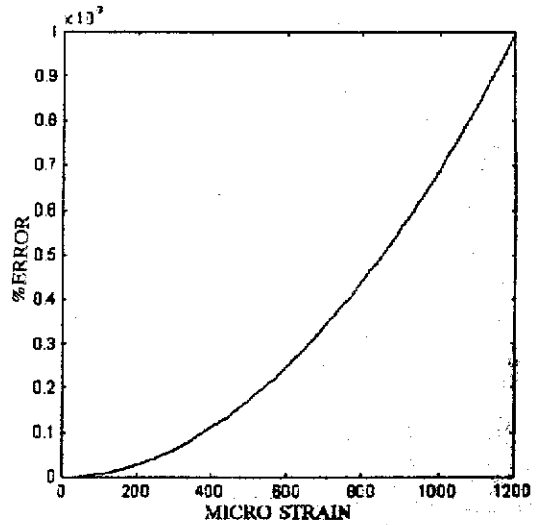
شکل ۶ تغییرات سرعت انتشار موج QSV با کرنش پسماند در صفحات (۱-۲) و (۲-۳) با در نظر گرفتن آثار یافت



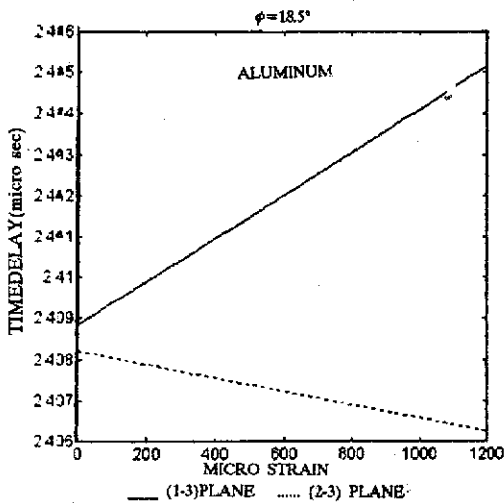
شکل ۵ تغییرات سرعت انتشار موج QSV با کرنش پسماند در صفحات (۱-۲) و (۲-۳) چشم‌پوشی از اثرات یافت



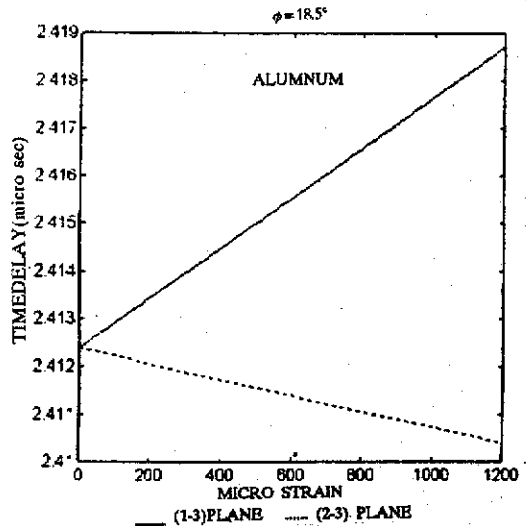
شکل ۸ تغییرات تاخیر زمانی با کرنش پسماند برای انتشار امواج در صفحات (۱-۳) و (۲-۳) [13]



شکل ۷ خطای ناشی از خطی کردن معادلات حرکت (سرعت - کرنش) در صفحات (۱-۳) و (۲-۳)



شکل ۱۰ تغییرات تاخیر زمانی با کرنش پسماند برای انتشار امواج در صفحات (۱-۳) و (۲-۳) با در نظر گرفتن آثار بافت



شکل ۹ تغییرات تاخیر زمانی با کرنش پسماند برای انتشار امواج در صفحات (۱-۳) و (۲-۳) با چشم‌پوشی از اثرات بافت

پیوست

معادله حرکت در جهت  $X_1$ :

$$\begin{aligned} \rho \ddot{u}_i &= (\gamma\mu + \lambda)[u_{1,11} + u_{2,12} + u_{3,13} + u_{1,1}(3u_{1,11} + u_{1,22} + u_{1,33} + u_{2,12} + u_{3,13} + u_{2,1}u_{2,11} \\ &+ u_{3,1}u_{3,11} + u_{1,2}(u_{2,22} + 2u_{1,12} + u_{3,23}) + u_{2,2}(u_{1,11} + u_{1,22} + u_{1,33} + u_{2,12}) + u_{3,2}u_{3,12} \\ &+ u_{1,3}(u_{3,33} + 2u_{1,13} + u_{2,23}) + u_{2,3}u_{2,13} + u_{3,3}(u_{1,11} + u_{1,22} + u_{1,33} + u_{3,13})] \\ \mu &= [u_{1,22} + u_{1,33} - u_{2,12} - u_{3,13} - u_{1,1}(u_{2,12} + u_{3,13}) + u_{2,1}(u_{2,22} + u_{3,33} + 2u_{1,12}) + u_{3,1} \\ &+ (u_{2,22} + u_{3,33} + 2u_{1,12}) + u_{1,2}(u_{2,11} + u_{3,33} - u_{2,23}) + u_{2,2}(-2u_{1,11} - 2u_{1,3} - u_{2,12}) + u_{3,2} \\ &+ (2u_{1,23} - u_{2,12}) + u_{1,3}(u_{2,11} + u_{3,22} - u_{2,23}) + u_{2,3}(2u_{1,23} - u_{2,13}) + u_{3,3}(-2u_{1,11} - 2u_{1,22} - u_{2,13})] \\ m &= [u_{1,1}(u_{1,22} + u_{1,33} - 3u_{2,12} - 3u_{3,13}) + (u_{1,2} + u_{2,1})(u_{2,11} + u_{2,22} + 2u_{1,12} + 2u_{3,22}) + u_{3,1} \\ &(u_{2,11} + u_{3,33} + 2u_{1,12} + u_{2,23}) + u_{2,2}(-4u_{1,11} + u_{1,22} - u_{1,33})(-5u_{2,13} - 3u_{2,12}) + u_{3,2} \\ &(u_{1,13} + u_{2,12}) + u_{1,3}(u_{2,11} + u_{3,33} - 2u_{1,12} + u_{2,23}) + u_{2,3}(u_{2,13} + u_{3,12}) + u_{3,3}(-4u_{1,11} \\ &+ u_{1,22} + u_{1,33} - 3u_{2,13} - 5u_{2,12})] + \frac{1}{F} [(u_{1,2} + u_{2,1})(u_{2,23} - u_{3,23}) + (u_{1,3} + u_{3,1})(u_{2,22} - u_{2,23}) \\ &+ (u_{2,2} + u_{3,2})(2u_{1,23} - u_{2,13} - u_{3,12}) + 2u_{2,2}(u_{2,13} - u_{1,33}) + 2u_{3,2}(u_{2,12} - u_{1,22})] \end{aligned}$$

مراجع

1. Hurtos, E., and Rodriguez- Viejo, J. "Residual stress and texture in poly-SiC films grown by lowpressure organometallic chemicalvapor deposition", *J. Appl. Phys.* 87, 4, pp. 1748-1758, (2000).
2. Rangaswamy, P., and Daymond, M. R., and Bourke, M. A. M, "Texture and residual strain in two SiC/Ti-6-2-4-2 titanium composites", *Metallurgical and materials transaction. part a, physical metallurgy and materials science*, 31A, 3A, pp. 889-898, (2000).
3. Toupin, R. A., and Bernstein, B, "Sound waves in deformed perfectly elastic materials. Acoustoelastic effect", *J. Acoust. Soc. Amer*, 33, pp. 216-225, (1961).
4. Green Jr, R. E, "*Ultrasonic investigation of mechanical properties*", Vol. 3, Treaties on materials science and technology, Ed; Ierman, H., Academic Press, (1973).
5. Murnaghan, T. D, "*Finite defomation of an elastic solid*", John wiley and sons, Inc, (1951).
6. Marzari, N., and Ferrari, M, "Texture and micromorphological effects on the overall elastic response of macroscopically anisotropic composites", *J. of Applid Mechanics*, Vol. 59, pp. 269-275, (1992).
7. Hirao, M, Aoki, K., and Fukuika, H, "Texture of polycrystalline metals characterized by ultrasonic velocity measurements", *J. Acoust. Soc. Am.* 81, pp. 1434-1440, (1987).
8. Sayers, C. M, "Ultrasonic velocities in anisotropic polycrystalline aggregates", *J. Phys.* D15, pp. 2157-2167, (1982).
۹. حسینی. نورمحمد، "بررسی بافت مواد با استفاده از آزمون‌های غیرمخرب (امواج اولتراسونیک)", هفتمین کنفرانس بین‌المللی مهندسی مکانیک انجمن مهندسان مکانیک، ایران دانشگاه سیستان و بلوچستان، ص ۱۳۹۵-۱۴۰۲، ۲۵ لغایت ۲۷ فروردین ماه (۱۳۷۸).
10. Rokhlin, S. I., and Wang, W. "Double through-transmission bulk wave method for ultrasonic phase velocity measurement and determination of elastic constants of composite materials", *J. Acoust. Soc. Am.* 91(6), pp. 3303-3312, (1992).
11. Victor Hauk, "*Structural and residual stress analysis by nondestructive methods*", Elsevier Science B.V., Amsterdam, the Netherlands, pp. 536, (1997).
12. Allen, D. R, Langman, R., and Sayers, C. M, "Ultrasonic SH wave velocity in textured aluminum plates", *Ultrasonics*, 23, pp. 215-222, (1985).
13. Egle, D. M., and Koshti, A. M, "Stress measurement via the acoustoelastic effect and watercoupled ultrasonic waves", paper presented in *Conference on nondestructive for manufacturing and construction*, U. of Illinois at Urbana-Champaign, Aug, 9-12, (1988).